

1 表皮生长因子对脂多糖刺激断奶仔猪肠道钠磷转运载体蛋白 II b 表达的影响

2 汤小朋 徐 荣 李成良 彭 鹏 禹琪芳 方热军\*

3 (湖南农业大学动物科学技术学院, 湖南畜禽安全生产协同创新中心, 长沙 410128)

4 摘 要: 本试验旨在研究表皮生长因子 (EGF) 对脂多糖 (LPS) 刺激的应激状态下仔猪肠

5 道钠磷转运载体蛋白 II b (NaPi-II b) 表达的影响。本试验由 2 部分组成, 1) 细胞试验: 以

6 猪小肠上皮细胞 (IPEC-J2) 为模型, 试验设 4 个组, 对照组 (0 ng/mL EGF, 0 µg/mL LPS)、

7 EGF 组 (100 ng/mL EGF, 0 µg/mL LPS)、LPS 组 (0 ng/mL EGF, 1.0 µg/mL LPS)、EGF+LPS

8 组 (100 ng/mL EGF, 1.0 µg/mL LPS), 每组 3 个重复; 2) 动物试验: 选取 24 头体重接近、

9 健康状况良好的 21 日龄“长白×大白”二元杂交断奶阉公猪[平均体重(5.76±0.38 kg)], 随机

10 分为 4 个组, 对照组 (基础饲粮)、EGF 组 (基础饲粮+2 mg/kg EGF)、LPS 组 (基础饲粮+

11 腹腔注射 100 µg/kg BW LPS)、EGF+LPS 组(基础饲粮+2 mg/kg EGF+腹腔注射 100 µg/kg BW

12 LPS), 每组 6 个重复, 每个重复 1 头猪。结果表明: 1) 细胞试验中, 与对照组相比, EGF

13 组 IPEC-J2 细胞 NaPi-II b mRNA 及蛋白表达显著下降 ( $P<0.05$ ), 而 EGF+LPS 组细胞 NaPi-

14 II b mRNA 及蛋白表达显著增加 ( $P<0.05$ ), EGF 与 LPS 免疫应激的互作效应对 NaPi-II b

15 mRNA 及蛋白表达影响显著 ( $P<0.05$ )。2) 动物试验中, 各组间血清钙 (Ca) 含量无显著

16 差异 ( $P>0.05$ ), LPS 组血清磷 (P) 含量显著高于对照组、EGF 组、EGF+LPS 组 ( $P<0.05$ ),

17 EGF 组血清碱性磷酸酶 (ALP) 活性显著高于 LPS 组 ( $P<0.05$ ), EGF 与 LPS 免疫应激互

18 作效应对血清 P 含量影响显著 ( $P<0.05$ ), 对血清 Ca 含量和 ALP 活性影响不显著 ( $P>0.05$ )。

19 与对照组相比, EGF 组空肠与回肠 *NaPi-II b* mRNA 表达显著下降 ( $P<0.05$ ), 而 EGF+LPS

20 组空肠与回肠 *NaPi-II b* mRNA 表达显著增加 ( $P<0.05$ ), EGF 与 LPS 免疫应激互作效应对

21 空肠与回肠 *NaPi-II b* mRNA 表达影响显著 ( $P<0.05$ )。细胞与动物试验结果表明, EGF 对

收稿日期: 2018-03-29

基金项目: 湖南省自然基金面上项目(2018JJ2163); 国家自然科学基金面上项目(31572419);

湖南生研究生科研创新项目 (CX2016B276)

作者简介: 汤小朋(1986—), 男, 湖南邵阳人, 博士研究生, 从事动物营养与饲料研究。E-mail:

tangxiaopeng110@126.com

\*通信作者: 方热军, 教授, 博士生导师, E-mail: fangrj63@126.com

22 NaPi-II b 的表达起抑制作用，但在免疫应激状态下可促进 NaPi-II b 的表达，表明 EGF 可促  
23 进应激状态下肠道 P 的主动转运。

24 关键词：表皮生长因子；磷；NaPi-II b；脂多糖；猪小肠上皮细胞；断奶仔猪

25 中图分类号：S 文献标识码： 文章编号：

26 磷（P）是生物系统的重要组成部分，涉及到各种生理过程，包括能量代谢、细胞信号、  
27 核苷酸和磷脂生物合成以及牙齿、骨骼形成<sup>[1-2]</sup>。研究已证实钠磷转运载体蛋白 II b (type II  
28 b sodium-phosphate cotransporter, NaPi-II b) 是介导肠道磷主动转运的主要途径<sup>[3-4]</sup>。NaPi-II  
29 b 受许多因素的调节，表皮生长因子 (epidermal growth factor, EGF) 是调节其表达的重要  
30 因素之一<sup>[5-8]</sup>。EGF 是一种重要的生长因子，广泛存在于乳液、唾液、尿液、肠液、血液、  
31 羊水等体液中，对细胞生存、增殖与分化、迁移、凋亡等具有重要作用<sup>[9-11]</sup>。前人在人 Caco2  
32 细胞及猪小肠上皮细胞 (IPEC-J2) 中的研究表明，EGF 可抑制细胞 NaPi-II b 的表达，说明  
33 在正常培养条件下，EGF 可能通过其他途径调节细胞对磷的吸收。理论上讲，在 EGF 对肠  
34 道屏障功能的修复过程中，必然伴随大量 DNA、RNA 和蛋白质的合成，其前提需要经肠道  
35 吸收更多的磷，此过程中所需更多的磷是通过何种途径满足机体需要还未见报道。因此，本  
36 研究通过细胞试验与动物试验相结合的方法，研究 EGF 对脂多糖 (LPS) 刺激的应激状态  
37 下断奶仔猪小肠磷吸收的影响，为进一步诠释 EGF 对磷的吸收提供新的认识。

38 1 材料与方法

39 1.1 细胞试验

40 1.1.1 主要试剂

41 EGF 购自 Peprotech 公司；LPS、Tris、十二烷基磺酸钠 (SDS)、过硫酸铵 (APS)、四  
42 甲基乙二胺 (TEMED)、Tween-20、丙烯酰胺、甲叉双丙烯酰胺、丽春红购自 Sigma 公司；  
43 胎牛血清 (FBS)、胰蛋白酶、青链双抗购自 GIBCO 公司；DMEM/F12 (HyClon) 培养基购  
44 自 GE；CCK-8 试剂盒、BCA 蛋白试剂盒、磷酸缓冲液 (PBS)、RIPA 蛋白裂解液购自索莱  
45 宝公司；TRIzol 试剂购自 Invitrogen 公司；逆转录试剂盒、UltraSYBR Mixture 及 DM 2000 Plus  
46 DNA Marker 均购自北京康维世纪公司；Super ECL Plus 超敏发光液购自 Thermo 公司；一抗  
47 NaPi-II b(货号:21773-1-AP)、一抗β-actin(货号:60008-1-Ig)、二抗(Goat Anti-Rabbit IgG/HRP)  
48 购自 Proteintech 公司。

## 49 1.1.2 细胞培养及分组

50 IPEC-J2 细胞由中国科学院亚热带农业生态研究所提供。细胞经活化后，培养在含 10%  
51 FBS、1% 青链双抗的培养基中，置于 37 °C，含有 5% CO<sub>2</sub> 的培养箱中培养。细胞生长至  
52 80%~90% 融合后，用 0.25% 胰蛋白酶消化细胞，显微镜下计数，收集的细胞用于细胞传代或  
53 进行后续试验。试验设 4 个组：对照组（0 ng/mL EGF, 0 µg/mL LPS）、EGF 组（100 ng/ mL  
54 EGF, 0 µg/mL LPS）、LPS 组（0 ng/mL EGF, 1.0 µg/mL LPS）、EGF+LPS 组（100 ng/mL EGF,  
55 1.0 µg/mL LPS），每组 3 个重复。EGF、LPS 剂量的选择及培养时间的确定参照文献[11]。  
56 将细胞以 1×10<sup>5</sup> 个/孔接种于 6 孔板中，每孔加入 2 mL 含 10% FBS、1% 青链双抗的培养基，  
57 培养 24 h 后，弃去培养基，用 37 °C PBS 润洗 2 遍，然后分别加入相应剂量的 EGF 与 LPS，  
58 加入培养基至 2 mL，培养 24 h。

59 1.1.3 EGF 对 LPS 刺激的 IPEC-J2 细胞 *NaPi-II b* mRNA 表达的测定

60 采用实时荧光定量 PCR（qRT-PCR）检测细胞 *NaPi-II b* mRNA 的表达。细胞培养结束  
61 后，用 PBS 洗涤细胞 2 次，每孔加入 Trizol 1 mL，按照 Trizol 试剂说明书提取总 RNA，并  
62 测定总 RNA 浓度及 1% 琼脂凝胶检测 RNA 完整性。以细胞总 RNA 为模板，用逆转录试剂  
63 盒反转录为 cDNA，具体步骤参照试剂盒说明书。定量 PCR 反应按照荧光定量 PCR 检测试  
64 剂盒操作。所用引物由上海生工生物工程技术服务有限公司合成。*NaPi-II b* 引物序列为 F:  
65 GCCCGAGCTTAAGAACACA, R: CATGACACCAGCACCATCGTT; β-肌动蛋白 (β-actin)  
66 引物序列为 F: CATCCTGCGTCTGGACCTGG, R: TAATGTCACGCACGATTCC。实时荧  
67 光定量 PCR 程序参照 Tang<sup>[11]</sup>介绍的方法进行。以 β-actin 基因为内参，采用 2<sup>-ΔΔCt</sup> 法进行目  
68 的基因相对表达量计算。

69 1.1.4 EGF 对 LPS 刺激的 IPEC-J2 细胞 *NaPi-II b* 蛋白表达的测定

70 采用 Western blot 检测细胞 *NaPi-II b* 蛋白的表达。细胞培养结束后，弃去培养基，PBS  
71 洗涤细胞 1 次，加入 250 µL RIPA 细胞裂解液（含 1 mmol/L 蛋白酶抑制剂），冰上裂解 15 min,  
72 4 °C, 12 000 rpm 离心 3~5 min，取上清分装后置于 -80 °C 冰箱保存，待测。蛋白浓度测定  
73 采用南京建成的 BCA 蛋白浓度检测试剂盒测定，具体参照说明书步骤进行。Western blot  
74 程序参照 Tang 等<sup>[11]</sup>介绍的方法进行。

## 75 1.2 动物试验

## 76 1.2.1 试验材料

77 EGF 由长沙某公司提供, EGF 含量为 4 000 mg/kg; LPS (大肠杆菌血清型 O55: B5)、  
78 石蜡、中性树胶、伊红购自 sigma 公司; RT-PCR 所需试剂同 1.1.3。

## 79 1.2.2 试验动物及分组

80 选取 24 头体重接近、健康状况良好的 21 日龄“长白×大白”二元杂交断奶阉公猪[平均体  
81 重(5.76±0.38) kg], 随机分为 4 个组: 对照组(基础饲粮)、EGF 组(基础饲粮+2 mg/kg EGF)、  
82 LPS 组(基础饲粮+腹腔注射 100 μg/kg BW LPS)、EGF+LPS 组(基础饲粮+2 mg/kg EGF+  
83 腹腔注射 100 μg/kg BW LPS), 每组 6 个重复, 每个重复 1 头猪, 试验期 14 d。基础饲粮配  
84 制参照 NRC (2012) 猪的营养需要, 其组成及营养水平见表 1。在试验的第 8 天、第 15 天  
85 清晨, 给 LPS 组和 EGF+LPS 组仔猪注射 100 μg/kg BW 的 LPS<sup>[12]</sup>, 对照组和 EGF 组注射等  
86 量的生理盐水。

87 表 1 基础饲粮组成及营养水平 (饲喂基础)

88 Table 1 Composition and nutrient levels of the basal diet (as fed basis) %

原料	含量	营养水平	含量
Ingredients	Content	Nutrient levels <sup>2)</sup>	Content
玉米 Corn	63.70	消化能 DE/(MJ/kg)	14.22
压榨豆粕 Squeezed soybean meal	16.00	粗蛋白质 CP	19.59
膨化大豆 Expanded soybean	8.00	赖氨酸 Lys	1.33
鱼粉 Fish meal	4.50	蛋氨酸+半胱氨酸 Met+Cys	0.73
乳清粉 Whey powder	2.00	钙 Ca	0.86
葡萄糖 Glucose	2.00	总磷 Total P	0.74
石粉 Limestone	0.78	有效磷 Available P	0.45
磷酸氢钙 CaHPO <sub>4</sub>	1.30		
赖氨酸 Lys	0.35		
蛋氨酸 Met	0.07		
苏氨酸 Thr	0.06		
食盐 NaCl	0.24		

---

预混料 Premix <sup>1)</sup>	1.00
合计 Total	100.00

---

89       <sup>1)</sup> 预混料为每千克饲粮提供 The premix provided the following per kilogram of the diet:  
 90       VA 10 000 IU; VD<sub>3</sub> 1 500 IU; VE 60 mg; VK<sub>3</sub> 3 mg; VB<sub>1</sub> 1.8 mg; VB<sub>12</sub> 0.024 mg; 核黄素  
 91       riboflavin 6 mg; 叶酸 folic acid 0.3 mg; 生物素 biotin 4.5 mg; 烟酸 nicotinic acid 24 mg;  
 92       D-泛酸 D-pantothenic acid 15 mg; 胆碱 choline 1 000 mg; Zn 125 mg; Fe 120 mg; Cu 150 mg;  
 93       I 0.3 mg; Se 0.3 mg。

94       <sup>2)</sup>粗蛋白质、总磷、钙为实测值,其余为计算值。CP, total P, Ca levels were measured values,  
 95       while others were calculated values.

### 96       1.2.3 饲养管理

97       本试验于 2017 年 11 月 12 日—2017 年 11 月 29 日在益阳兆丰农牧科技有限公司猪舍进  
 98       行。试猪单栏饲养, 试验期间自由采食与饮水。每天 08:00、12:00、16:00、20:00 投喂饲粮,  
 99       第 2 天投喂前收集剩余饲粮。每天中午通风 15 min 左右, 猪舍温度控制在 25~28 °C, 相对  
 100      湿度 50%~70%。

### 101      1.2.4 样品采集

102       血样: 试猪在试验的第 15 天, 注射 LPS 6 h 后, 采集前腔静脉血 10 mL。血液样品在 4 °C,  
 103      3 500 r/min 离心 10 min, 收集血清, -20 °C 保存。

104       黏膜样: 试猪在试验的第 15 天, 注射 LPS 6 h 后, 全部仔猪注射 50 mg/kg BW 的戊巴  
 105      比妥钠, 待完全麻醉后屠宰, 屠宰后迅速从胸骨到耻骨切线打开腹腔, 取出胃肠道, 于空肠、  
 106      回肠处分别采集 1 段约 5 cm 肠段, 用 4 °C 预冷 1×PBS 轻轻漂洗, 于冰面上刮取黏膜, 分  
 107      装 2 管, 液氮速冻后于 -80 °C 保存。

### 108      1.2.5 EGF 对 LPS 刺激的断奶仔猪血清钙、磷含量的测定

109       血清钙含量的测定采用南京建成生物工程研究所生产的钙测试盒(微板法, 货号 C004-2)  
 110      测定。血清磷含量的测定采用南京建成生物工程研究所生产的磷测试盒(磷钼酸法, 货号  
 111      C006)。测定步骤参照相应的试剂盒说明书进行。

### 112      1.2.6 EGF 对 LPS 刺激的断奶仔猪血清碱性磷酸酶活性的测定

113       血清碱性磷酸酶( ALP )活性采用迈瑞全自动生化分析仪 BS-200 (深圳迈瑞医疗电子

114 股份有限公司) 检测。试剂盒购自深圳迈瑞公司, 测定步骤参照说明书进行。

115 1.2.7 肠黏膜 *NaPi-IIb* mRNA 表达的测定

116 采用 qRT-PCR 法测定空肠、回肠肠黏膜 *NaPi-IIb* mRNA 的表达情况。具体操作同 1.1.3。

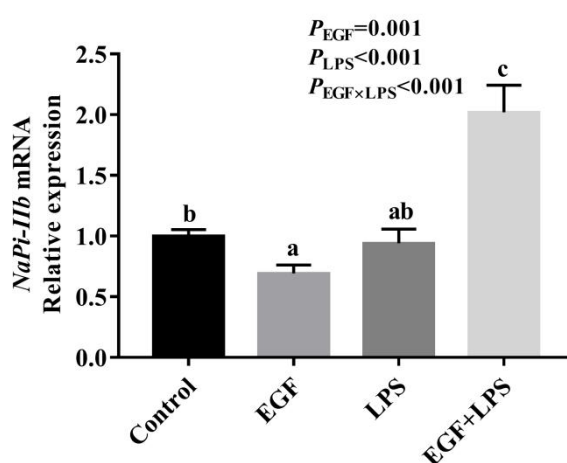
117 1.3 统计分析

118 试验结果以“平均值±标准差”(means±SD)表示, 采用 SPSS 21.0 统计软件的 GLM 模  
119 型进行两因素方差分析, 模型主效应包括 EGF 处理、LPS 处理以及两者的互作, one-way  
120 ANOVA 程序进行单因素方差分析, 组间差异采用 Duncan 氏法进行多重比较, 以  $P<0.05$   
121 作为差异显著性判断标准。

122 2 结果与分析

123 2.1 EGF 对 LPS 刺激的 IPEC-J2 细胞 *NaPi-IIb* mRNA 表达的影响

124 由图 1 可知, 与对照组相比, EGF 组细胞 *NaPi-IIb* mRNA 表达显著下降 ( $P<0.05$ ),  
125 EGF+LPS 组细胞 *NaPi-IIb* mRNA 表达显著提高 ( $P<0.05$ )。与 EGF 组相比, EGF+LPS 组  
126 细胞 *NaPi-IIb* mRNA 表达显著提高 ( $P<0.05$ )。与 LPS 组相比, EGF+LPS 组细胞 *NaPi-IIb*  
127 mRNA 表达显著提高 ( $P<0.05$ )。EGF 与 LPS 免疫应激的互作效应对 *NaPi-IIb* mRNA 表  
128 达影响显著 ( $P<0.05$ )。结果表明, EGF 抑制细胞 *NaPi-IIb* mRNA 的表达, 但在应激状态  
129 下 EGF 促进细胞 *NaPi-IIb* mRNA 的表达。



130

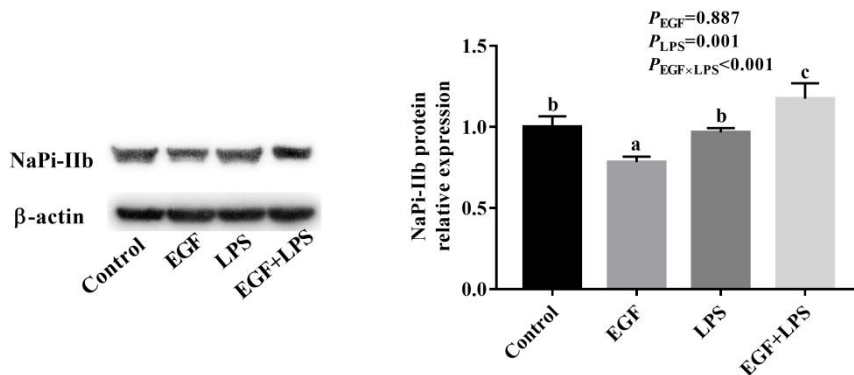
131 不同小写字母表示差异显著( $P<0.05$ ), 相同字母表示差异不显著( $P>0.05$ ), 图 2、图 3  
132 同。Values with different small letters mean significant difference ( $P<0.05$ ), while with the same  
133 letter mean no significant difference ( $P>0.05$ ). The same as Fig. 2 and Fig. 3.

134 图 1 EGF 对 LPS 刺激的 IPEC-J2 细胞 *NaPi-IIb* mRNA 表达的影响

135 Fig. 1 Effects of EGF on *NaPi-IIb* mRNA expression in IPEC-J2 cells challenged by LPS

## 136 2.2 EGF 对 LPS 刺激的 IPEC-J2 细胞 *NaPi-IIb* 蛋白表达的影响

137 由图 2 可知, 与对照组相比, EGF 组细胞 *NaPi-IIb* 蛋白表达显著下降 ( $P<0.05$ ),  
 138 EGF+LPS 组细胞 *NaPi-IIb* 蛋白表达显著提高 ( $P<0.05$ )。与 EGF 组相比, EGF+LPS 组细  
 139 胞 *NaPi-IIb* 蛋白表达显著提高 ( $P<0.05$ )。与 LPS 组相比, EGF+LPS 组细胞 *NaPi-IIb* 蛋  
 140 白表达显著提高 ( $P<0.05$ )。EGF 与 LPS 免疫应激的互作效应对 *NaPi-IIb* 蛋白表达影响显  
 141 著 ( $P<0.05$ )。Western blot 结果同样表明, EGF 抑制细胞 *NaPi-IIb* 蛋白表达, 但在应激状  
 142 态下 EGF 促进细胞 *NaPi-IIb* 蛋白的表达。



143

144 A: Western blot 电泳图; B: *NaPi-IIb* 蛋白表达量。

145 A: Western blot electrophoretogram; *NaPi-IIb* protein expression level.

146 图 2 EGF 对 LPS 诱导的 IPEC-J2 细胞 *NaPi-IIb* 蛋白表达影响

147 Fig. 2 Effects of EGF on *NaPi-IIb* protein expression in IPEC-J2 cells challenged by LPS

## 148 2.3 EGF 对 LPS 刺激的断奶仔猪血清钙、磷含量和碱性磷酸酶活性的影响

149 由表 2 可知, 各组间血清钙含量无显著差异 ( $P>0.05$ ); EGF 与 LPS 免疫应激互作效应  
 150 对血清钙含量无显著影响 ( $P>0.05$ )。LPS 组血清磷含量显著高于对照组、EGF 组、EGF+LPS  
 151 组 ( $P<0.05$ ), 且 EGF 与 LPS 免疫应激互作效应对血清磷含量影响显著 ( $P<0.05$ ); EGF  
 152 组血清 ALP 活性显著高于 LPS 组 ( $P<0.05$ ), 与对照组、EGF+LPS 组差异不显著 ( $P>0.05$ ),  
 153 EGF 与 LPS 免疫应激互作效应对血清 ALP 活性无显著影响 ( $P>0.05$ )。

154 表 2 EGF 对 LPS 刺激的断奶仔猪血清钙、磷含量和碱性磷酸酶含量的影响

155 Table 2 Effects of EGF on serum Ca, P contents and ALP activity of weaned piglets challenged

156

by LPS

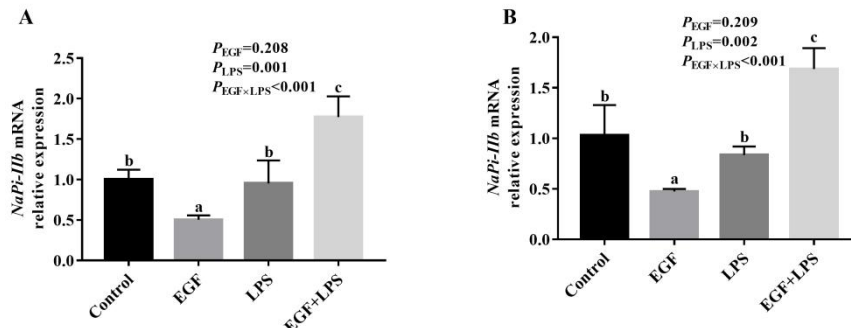
项目 Items	对照组 Control group	EGF 组 EGF group	LPS 组 LPS group	EGF+LPS 组 EGF+LPS group	P 值 P-value		
					EGF	LPS	EGF×LPS
碱性磷酸酶 ALP/(U/L)	322.48±31.90 <sup>ab</sup>	375.93±32.49 <sup>b</sup>	285.59±66.01 <sup>a</sup>	367.64±60.67 <sup>ab</sup>	0.034	0.427	0.611
钙 Ca/(mmol/L)	1.42±0.03	1.35±0.09	1.42±0.03	1.39±0.06	0.056	0.571	0.461
磷 P/(mmol/L)	2.67±0.51 <sup>a</sup>	2.81±0.53 <sup>a</sup>	4.28±0.44 <sup>b</sup>	2.82±0.49 <sup>a</sup>	0.008	0.002	0.003

157 同行数据肩标不同小写字母表示差异显著( $P<0.05$ )，相同字母或无字母表示差异不显著  
 158 ( $P>0.05$ )。

159 Values with different small letter superscripts mean significant difference ( $P < 0.05$ ), while  
 160 with the same letter superscripts mean no significant difference ( $P > 0.05$ ).

161

162 2.4 EGF 对 LPS 刺激的断奶仔猪小肠黏膜 *NaPi-II b* mRNA 表达的影响  
 163 由图 3 可知，与对照组相比，EGF 组空肠(图 3A)、回肠(图 3B) 黏膜 *NaPi-II b* mRNA  
 164 的表达均显著降低( $P<0.05$ )，EGF+LPS 组空肠(图 3A)、回肠(图 3B) 黏膜 *NaPi-II b* mRNA  
 165 的表达均显著增加( $P<0.05$ )。与 LPS 组相比，EGF 组空肠(图 3A)、回肠(图 3B) 黏膜  
 166 *NaPi-II b* mRNA 的表达均显著降低( $P<0.05$ )，EGF+LPS 组空肠(图 3A)、回肠(图 3B)  
 167 黏膜 *NaPi-II b* mRNA 的表达均显著增加( $P<0.05$ )。与 EGF 组相比，EGF+LPS 组空肠(图  
 168 3A)、回肠(图 3B) 黏膜 *NaPi-II b* mRNA 的表达均显著增加( $P<0.05$ )。EGF 与 LPS 免疫  
 169 应激互作效应对空肠与回肠 *NaPi-II b* mRNA 的表达影响显著( $P<0.05$ )。动物试验结果表  
 170 明，EGF 抑制小肠黏膜 *NaPi-II b* mRNA 表达，但在应激状态下促进小肠黏膜 *NaPi-II b* mRNA  
 171 表达。



172

173 A: 空肠 *NaPi-IIb* mRNA 相对表达量; B: 回肠 *NaPi-IIb* mRNA 相对表达量。174 A: *NaPi-IIb* mRNA relative expression in the jejunum; B: *NaPi-IIb* mRNA relative  
175 expression in the ileum.176 图 3 EGF 对 LPS 刺激的断奶仔猪小肠黏膜 *NaPi-IIb* mRNA 表达影响177 Fig. 3 Effects of EGF on *NaPi-IIb* mRNA expression in small intestinal mucosa of weaned  
178 piglets challenged by LPS

## 179 3 讨 论

180 磷是动物必需的矿物质元素之一，在动物生长发育、骨骼形成、能量代谢、核酸合成、  
181 细胞信号转导以及维持血液酸碱平衡中起着重要作用<sup>[1,3,13]</sup>。血清碱性磷酸酶是反映动物机体  
182 钙磷代谢状况的血清生化指标，当机体缺乏钙磷时，碱性磷酸酶释放增加。本研究结果表明，  
183 EGF 对 LPS 刺激的仔猪血清钙含量无显著影响，但对血清磷含量影响显著。EGF 组血清 ALP  
184 活性显著高于 LPS 组，但饲粮 EGF 与 LPS 免疫应激互作效应对血清碱性磷酸酶活性无显著  
185 影响。LPS 是革兰氏阴性菌细胞壁破裂后释放的毒性物质，是导致急性肾损伤的主要因素之  
186 一<sup>[14]</sup>。本研究中 LPS 组血清磷含量显著高于其他组，可能是 LPS 刺激导致了仔猪肾脏功能  
187 损伤，影响肾脏对磷的重吸收，从而导致血清磷含量异常升高。188 肠道磷的吸收主要有被动扩散和主动吸收 2 种方式，*NaPi-IIb* 是调节肠道磷主动转运  
189 的主要载体<sup>[3-5]</sup>，介导机体 70%~90% 磷的主动转运<sup>[15-16]</sup>。*NaPi-IIb* 的调控受许多因素的影  
190 响，如磷<sup>[1]</sup>、维生素 D<sub>3</sub><sup>[17]</sup>、雌二醇<sup>[2]</sup>、神经肽 Y<sup>[4]</sup>、降钙素基因相关肽、EGF<sup>[5-8]</sup>等。EGF 是  
191 一种含有 53 个氨基酸残基的小肽，其生物学功能的发挥是通过与其表皮生长因子受体  
192 (EGFR) 结合后实现的<sup>[9]</sup>。EGFR 广泛存在于小肠刷状缘顶端及基底侧，当动物摄取的 EGF  
193 递送到小肠黏膜后与 EGFR 结合，形成二聚物，激活酪氨酸激酶 (RTK) 活性，促进 RTK

194 自我磷酸化，随后激活 Ras/丝裂原活化蛋白激酶（Ras/MAPK）、磷脂酰肌醇 3 激酶/蛋白激  
195 酶 B（PI3K/AKT）、磷脂酶 C- $\gamma$ /蛋白激酶 C（PLC- $\gamma$ /PKC）等一系列的信号通路，对细胞  
196 生存、增殖与分化、迁移、凋亡等具有重要作用<sup>[9-11,18]</sup>。前人在人 Caco2 细胞中的研究表明，  
197 EGF 通过修饰 c-myb 蛋白，经蛋白激酶 C/蛋白激酶 A（PKC/PKA）和 MAPK 信号通路调节  
198 下游启动子功能，从而抑制细胞 NaPi- II b 的转录活性，降低其表达量<sup>[5-6]</sup>。本课题组在猪  
199 IPEC-J2 细胞中同样发现 EGF 抑制了细胞中 NaPi- II b 的表达，进一步研究发现 EGF 作用  
200 NaPi- II b 启动子区域位于-1 092~-1 085 bp 区域（5' -TCCAGTTG-3' ），且 EGF 通过激活  
201 EGFR、PKA、PKC、P38、细胞外信号调节激酶（ERK）、氨基末端激酶（JNK）等信号分  
202 子来下调 IPEC-J2 细胞中 NaPi- II b 的表达<sup>[7-8]</sup>。Tang 等<sup>[11]</sup>研究表明，一定浓度的 EGF 可促  
203 进 IPEC-J2 细胞增殖，而细胞增殖过程中需要大量的磷用来合成 RNA 及 DNA，说明 EGF  
204 可促进磷的吸收，但不是通过 NaPi- II b 介导的磷的主动吸收，可能存在其他途径介导磷的  
205 吸收。

206 应激是动物生产过程中的普遍现象，可导致动物肠道损伤，影响生产成绩。LPS 对小肠  
207 上皮细胞具有毒害作用，能刺激猪小肠上皮细胞分泌大量白介素（IL）-1 $\beta$ 、IL-6、肿瘤坏  
208 死因子- $\alpha$ （TNF- $\alpha$ ）等促炎细胞因子，最终导致炎症的发生<sup>[19-21]</sup>。Tang 等<sup>[11]</sup>研究表明，LPS  
209 刺激诱导了细胞氧化应激及细胞凋亡的发生，而 EGF 可通过缓解氧化应激减少细胞凋亡来  
210 保护 LPS 刺激的肠上皮细胞损伤。理论上讲，在 EGF 对受损肠细胞修复过程中，必然伴随  
211 大量 DNA、RNA 和蛋白质的合成，其前提需要经肠道吸收更多的磷，此过程中 EGF 是否  
212 解除对 NaPi- II b 表达的抑制作用，从而促进磷的主动吸收，以满足机体对磷的需要，还未  
213 见报道。因此，本研究采用细胞试验与动物试验相结合的方法研究 EGF 对应激状态下（LPS  
214 刺激）猪小肠磷吸收的影响，结果表明，EGF 抑制 IPEC-J2 细胞的 NaPi- II b mRNA 及蛋白  
215 的表达，抑制仔猪空肠与回肠黏膜 NaPi- II b mRNA 的表达，这与 Xu 等<sup>[4-5]</sup>、Xing 等<sup>[6]</sup>、邢廷  
216 杰等<sup>[7]</sup>研究结果一致，而 EGF 可促进 LPS 刺激的 IPEC-J2 细胞 NaPi- II b mRNA 及蛋白的表  
217 达，促进 LPS 刺激的断奶仔猪空肠与回肠黏膜 NaPi- II b mRNA 的表达，说明在非应激状态  
218 下 EGF 抑制 NaPi- II b 介导的磷的主动转运，在应激状态下，EGF 可解除对 NaPi- II b 的抑  
219 制，调控 NaPi- II b 介导的磷的主动吸收，以满足机体对磷的需要，加快肠道修复进程。前  
220 人研究表明，EGF 对断奶仔猪的生长及肠道发育具有促进作用<sup>[22-23]</sup>，说明 EGF 是促进磷吸

收，但不是通过 NaPi- II b 介导的磷的主动吸收。机体磷稳态的维持是通过肠道磷吸收与肾脏磷重吸收实现的<sup>[24]</sup>。肠道磷吸收有被动扩散和主动转运，除了 NaPi- II b 介导的主动转运，III型钠离子依赖转运载体蛋白（type III transporters PiT1 and PiT2）也能介导部分磷的主动吸收<sup>[25]</sup>，肾脏重吸收主要由 NaPi- II a 与 NaPi- II c 2 种蛋白介导，当肠道磷吸收不足时，肾脏磷重吸收加强，从而满足机体磷的需要<sup>[26]</sup>。因此，本研究中 EGF 可能通过增强肠道磷的被动扩散吸收，或通过增强 PiT1 和 PiT2 介导的磷主动转运，或通过加强肾脏重吸收满足机体磷的需要，但具体通过何种途径调节磷的吸收还需进一步的研究。应激条件下 EGF 如何解除对 NaPi- II b 的抑制，从而介导磷的主动转运以满足机体需求还需进一步的研究。

#### 229 4 结 论

230 EGF 对肠道 NaPi- II b 的表达起抑制作用，但在免疫应激状态下可促进 NaPi- II b 的表达，  
231 其具体调节机制还有待进一步研究。

#### 232 参考文献：

- 233 [1] FANG R J,XIANG Z F,CAO M H,et al.Different phosphate transport in the duodenum and  
234 jejunum of chicken response to dietary phosphate adaptation[J].Asian-Australasian Journal of  
235 Animal Sciences,2012,25(10):1457–1465.
- 236 [2] FANG R J,XIANG Z F,HU L C,et al.Effects of mechanistic target of rapamycin signaling  
237 pathway on the estrogen-mediated NaPi- II b protein expression in pig small intestinal  
238 epithelial cells[J].Journal of Animal Science,2016,94(Suppl.3):303–306.
- 239 [3] XIANG Z,FANG R J,HU L C,et al.Molecular cloning and functional characterization of swine  
240 sodium dependent phosphate cotransporter type II b (NaPi- II b) gene[J].Molecular Biology  
241 Reports,2012,39(12):10557–10564.
- 242 [4] 胡龙昌,方热军.神经肽 Y 对猪小肠上皮细胞 NaPi- II b 蛋白表达及无机磷吸收的影响[J].  
243 畜牧兽医学报,2014,45(10):1640–1647.
- 244 [5] XU H,COLLINS J F,BAI L Q,et al.Regulation of the human sodium-phosphate cotransporter  
245 NaPi- II b gene promoter by epidermal growth factor[J].American Journal of Physiology Cell  
246 Physiology,2001,280(3):C628–C636.
- 247 [6] XU H,INOUYE M,HINES E R,et al.Transcriptional regulation of the human NaPi- II b

- 248 cotransporter by EGF in Caco-2 cells involves c-myb[J].American Journal of Physiology Cell  
249 Physiology,2003,284(5):C1262–C1271.
- 250 [7] XING T,TAN X,YU Q,et al.Identifying the location of epidermal growth factor-responsive  
251 element involved in the regulation of type II b sodium-phosphate cotransporter expression in  
252 porcine intestinal epithelial cells[J].Journal of Animal Physiology and Animal  
253 Nutrition,2017,101(6):1249–1258.
- 254 [8] 邢廷杰,汤小朋,曹满湖,等.表皮生长因子调控猪肠上皮细胞中钠依赖II b型磷转运蛋白表  
255 达的细胞信号通路研究[J].动物营养学报,2017,29(6):1988–1955.
- 256 [9] TANG X P,LIU H,YANG S F,et al.Epidermal growth factor and intestinal barrier  
257 function[J].Mediators of Inflammation,2016,2016:1927348.
- 258 [10] 汤小朋,刘虎,杨淑芬,等.表皮生长因子在动物肠道无机离子及其他营养物质吸收中的作  
259 用[J].动物营养学报,2016,28(8):2317–2323.
- 260 [11] TANG X P,LIU B,WANG X R,et al.Epidermal growth factor,through alleviating oxidative  
261 stress,protect IPEC-J2 cells from lipopolysaccharides-induced apoptosis[J].International  
262 Journal of Molecular Sciences,2018,19(3):848.
- 263 [12] 张伟,杨震国,侯永清,等.N-乙酰半胱氨酸对脂多糖刺激仔猪空肠黏膜抗氧化能力的影响  
264 [J].动物营养学报,2011,23(5):842–847.
- 265 [13] WAGNER C A,HERNANDO N,FORSTER IC,et al.The SLC34 family of sodium-dependent  
266 phosphate transporters[J].Pflügers Archiv-European Journal of  
267 Physiology,2014,466(1):139–153.
- 268 [14] 丁仁彧,肇冬梅,胡紫薇,等.Rho 激酶抑制剂通过抑制 Toll 样受体 4 和核因子 κ 核信号通路  
269 缓解脂多糖诱导的肾损伤[J].中国医科大学学报,2018,47(1):1–5.
- 270 [15] SABBAGH Y,O'BRIEN S P,SONG W P,et al.Intestinal Npt2b plays a major role  
271 in phosphate absorption and homeostasis[J].Journal of the American Society of  
272 Nephrology,2009,20(11):2348–2358.
- 273 [16] WONG S H,GAO A,WARD S,et al.Development of a label-free assay for sodium-dependent  
274 phosphate transporter NaPi-II b[J].Journal of the American Society of

- 275 Nephrology,2012,17(6):829–834.
- 276 [17] 曹满湖,贺建华,方热军,等.低磷条件下  $VD_3$  对大鼠小肠  $NaPi\text{-II}b$  mRNA 表达及磷吸收的  
277 调控[J].中国农业科学,2010,43(18):3838–3847.
- 278 [18] WEE P,SHI H P,JIANG J,et al. EGF stimulates the activation of EGF receptors and the  
279 selective activation of major signaling pathways during mitosis[J].Cell  
280 Signal,2015,27(3):638–651.
- 281 [19] PASZTI-GERE E,MATIS G,FARKAS O,et al. The effects of intestinal LPS exposure on  
282 inflammatory responses in a porcine enterohepatic co-culture  
283 system[J].Inflammation,2014,37(1):247–260.
- 284 [20] YANG F J,WANG A N,ZENG X F,et al. *Lactobacillus reuteri* I5007 modulates tight junction  
285 protein expression in IPEC-J2 cells with LPS stimulation and in newborn piglets under  
286 normal conditions[J].BMC Microbiology,2015,15:32.
- 287 [21] 王雄,李孟伟,马杰,等.牛膝多糖对仔猪肠上皮细胞免疫应激的调控及其作用机制[J].动物  
288 营养学报,2017,29(11):4116–4122.
- 289 [22] BEDFORD A,CHEN T,HUYNH E,et al. Epidermal growth factor containing culture  
290 supernatant enhances intestine development of early-weaned pigs *in vivo*:potential  
291 mechanisms involved[J].Journal of Biotechnology,2015,196–197:9–19.
- 292 [23] WANG S J,GUO C H,ZHOU L,et al. Comparison of the biological activities of  
293 *Saccharomyces cerevisiae*-expressed intracellular EGF,extracellular EGF, and tagged EGF in  
294 early-weaned pigs[J].Applied Microbiology and Biotechnology,2015,99(17):7125–7135.
- 295 [24] MANGHAT P,SODI R,SWAMINATHAN R. Phosphate homeostasis and disorders[J].Annals  
296 of Clinical Biochemistry,2014,51(6):631–656.
- 297 [25] SABBAGH Y,GIRAL H,CALDAS Y,et al. Intestinal phosphate transport[J].Advances in  
298 Chronic Kidney Disease,2011,18(2):85–90.
- 299 [26] WAGNER C A,BIBER J,MURER H. Of men and mice:who is in control of renal phosphate  
300 reabsorption?[J].Journal of the American Society of Nephrology,2008,19(9):1625–1626.

302 Effects of Epidermal Growth Factor on Intestinal Type II b Sodium-Phosphate Cotransporter  
 303 Expression of Weaned Piglets Challenged by Lipopolysaccharide  
 304 TANG Xiaopeng XU Rong LI Chengliang PENG peng YU Qifang FANG Rejun\*  
 305 (*College of Animal Science and Technology, Hunan Agricultural University, Hunan*  
 306 *Co-Innovation Center of Animal Production Safety Changsha 410128, China*)  
 307 Abstract: The aim of this experiment was to study the effects of epidermal growth factor (EGF) on  
 308 intestinal type II b sodium-phosphate cotransporter (NaPi- II b) expression of weaned piglets  
 309 under stress condition challenged by lipopolysaccharide (LPS). The study was consisted of two  
 310 parts, 1) cell experiment: intestinal porcine intestinal epithelial cells (IPEC-J2) were as the  
 311 experimental model, and divided into 4 groups with 3 replicates in each, control group (0 ng/mL  
 312 EGF, 0 µg/mL LPS), EGF group (100 ng/mL EGF, 0 µg/mL LPS), LPS group (0 ng/mL EGF, 1.0  
 313 µg/mL LPS), EGF+LPS group (100 ng/mL EGF, 1.0 µg/mL LPS); 2) animal experiment:  
 314 twenty-four 21-day-old healthy weaned piglets (Large White×Landrace) with an average body  
 315 weight of (5.76±0.38) kg were randomly divided into 4 groups, control group (basal diet), EGF  
 316 group (basal diet+2.0 mg/kg EGF), LPS group (basal diet+intraperitoneal injection of 100 mg/kg  
 317 LPS), EGF+LPS group (basal diet+2.0 mg/kg EGF+intraperitoneal injection of 100 mg/kg LPS),  
 318 with 6 replicates per group and 1 piglet in each replicate. The results showed as follows: 1) in the  
 319 cell experiment, compared with the control group, the expression of NaPi- II b mRNA and protein  
 320 in IPEC-J2 cells significantly decreased in EGF group ( $P<0.05$ ), whereas, that in IPEC-J2 cells  
 321 significantly increased in EGF+LPS group ( $P<0.05$ ), and there was a significant interaction  
 322 between EGF and LPS immunological stress on the expression of NaPi- II b mRNA and protein  
 323 ( $P<0.05$ ); 2) in the animal experiment, there was no significant difference in serum Ca content  
 324 among all groups ( $P>0.05$ ), serum P content in LPS group was significantly higher than that in  
 325 control group, EGF group, and EGF+LPS group ( $P<0.05$ ), alkaline phosphatase (ALP) activity in  
 326 EGF group was significantly higher than that in LPS group ( $P<0.05$ ), there was a significant  
 327 interaction between EGF and LPS immunological stress on serum P content ( $P<0.05$ ), but not on

---

\* Corresponding author, professor, E-mail: [fangrj63@126.com](mailto:fangrj63@126.com) (责任编辑 陈 鑫)

328 Ca content and ALP activity ( $P>0.05$ ). Compared with the control group, the expression of *NaPi-*  
329 *II b* mRNA in the jejunum and ileum in EGF group was significantly decreased ( $P<0.05$ ), while,  
330 that in EGF+LPS group was significantly increased ( $P<0.05$ ), and there was a significant  
331 interaction between EGF and LPS immunological stress on the expression of *NaPi- II b* mRNA in  
332 the jejunum and ileum ( $P<0.05$ ). The results of the cell experiment and animal experiment show  
333 that the EGF can inhibit the *NaPi- II b* expression, but can improve *NaPi- II b* expression under  
334 immunological stress condition, which indicate that EGF can promote the active absorption of P.  
335 Key words: epidermal growth factor; phosphorus; *NaPi- II b*; lipopolysaccharide; porcine  
336 intestinal epithelial cells; weaned piglets